

**Universidad Nacional de San Agustín de Arequipa**  
**Referente Latinoamericano**



**Facultad de Ingeniería de Producción y Servicios**  
Escuela Profesional de Ingeniería de Telecomunicaciones

**REDES INALÁMBRICAS**

**PRÁCTICA 3: SISTEMA DE TRANSMISIÓN Y RECEPCIÓN DE IMÁGENES  
MEDIANTE MODULACIÓN QPSK EN SDR BLADERF**

**Autores:**

**Docente:**

Dr. Alexander Hilario Tacuri

Ancasi Huillca, Jorge

CUI: 20200787

Huaman Meza, Dionel

CUI: 20213185

Ticona Ylaquijo, Rony

CUI: 20214289

**2025**

## Resumen

En este trabajo se presenta el diseño e implementación de un sistema de transmisión y recepción de imágenes mediante modulación QPSK (*Quadrature Phase Shift Keying*) utilizando una plataforma de radio definida por software (SDR) BladeRF. El sistema desarrollado permite enviar una imagen desde el transmisor hacia el receptor a través de un canal inalámbrico, empleando MATLAB como entorno de simulación y control del hardware. Se diseñaron las etapas de conformación de símbolos, modulación, filtrado, sincronización y corrección de fase (CFO), logrando la reconstrucción correcta de la imagen en el receptor. Los resultados experimentales demuestran la efectividad del esquema propuesto para la transmisión confiable de datos visuales en entornos de laboratorio, validando los principios teóricos de la modulación QPSK y el procesamiento digital de señales en sistemas SDR.

**Palabras clave**— QPSK, Radio Definida por Software, BladeRF, Transmisión de Imágenes, Comunicaciones Digitales, MATLAB.

## Abstract

This work presents the design and implementation of an image transmission and reception system using Quadrature Phase Shift Keying (QPSK) modulation through a Software Defined Radio (SDR) BladeRF platform. The developed system enables the transmission of an image from the transmitter to the receiver over a wireless channel, using MATLAB as the simulation and control environment. The stages of symbol shaping, modulation, filtering, synchronization, and carrier frequency offset (CFO) correction were implemented, achieving a successful reconstruction of the transmitted image. Experimental results validate the proposed scheme as an effective approach for reliable image transmission in controlled environments, confirming the theoretical principles of QPSK modulation and digital signal processing in SDR systems.

**Index Terms**— QPSK, Software Defined Radio, BladeRF, Image Transmission, Digital Communications, MATLAB.

# Índice

<b>I. Introducción</b>	<b>4</b>
<b>II. Objetivos</b>	<b>4</b>
A. Objetivo general . . . . .	4
B. Objetivos específicos . . . . .	4
<b>III. Desarrollo</b>	<b>5</b>
A. Arquitectura general de la trama . . . . .	5
B. Transmisor QPSK y filtrado RRC . . . . .	5
C. Cabecera y verificación por CRC-16 . . . . .	6
D. Aleatorización (Scrambler LFSR) . . . . .	6
E. Preámbulo Barker y bloque de entrenamiento . . . . .	6
F. Recepción: filtrado RRC y sincronización de símbolos . . . . .	6
G. Detección de preámbulo por correlación . . . . .	7
H. Estimación y corrección de CFO/fase (preámbulo) . . . . .	7
I. Refinamiento con entrenamiento (conjugado y fase) . . . . .	7
J. Búsqueda de cabecera {rotación, slip} . . . . .	8
K. PLL, ajuste $\pi/4$ y reconstrucción . . . . .	8
<b>IV. Resultados y Análisis</b>	<b>8</b>
A. Primera Prueba . . . . .	9
B. Segunda Prueba . . . . .	11
<b>V. Conclusiones</b>	<b>15</b>
<b>VI. Referencias</b>	<b>15</b>
<b>VII Anexos</b>	<b>16</b>
A. Prueba 1 — Transmisión y Recepción QPSK . . . . .	16
1. Código del Transmisor (TX QPSK Final) . . . . .	16
2. Código del Receptor (RX QPSK Final) . . . . .	19
3. Resultados del Command Window . . . . .	23
4. Configuración en BladeRF-CLI . . . . .	24
B. Drive y GitHub . . . . .	24

## I. Introducción

La modulación por desplazamiento de fase en cuadratura (QPSK, *Quadrature Phase Shift Keying*) es una técnica ampliamente utilizada en sistemas de comunicaciones digitales debido a su capacidad para transmitir dos bits por símbolo, logrando así una mayor eficiencia espectral sin incrementar significativamente la tasa de error por bit (BER) [1]. En esta práctica se implementa un sistema básico de comunicación inalámbrica utilizando modulación QPSK, cuyo objetivo es transmitir una imagen digital desde un transmisor hasta un receptor por medio de una plataforma de radio definida por software (*Software Defined Radio*, SDR).

El sistema desarrollado comprende todas las etapas de una cadena de comunicación digital: conversión de imagen a bits, codificación y aleatorización de datos, mapeo de símbolos, modulación QPSK, transmisión, recepción, demodulación y reconstrucción de la imagen recibida. Para la implementación, se utiliza MATLAB como entorno de diseño y simulación, complementado con hardware SDR (BladeRF), lo que permite observar de manera práctica los efectos de la modulación, filtrado, sincronización, corrección de errores y compensación de desfase de portadora (CFO).

Esta práctica no solo refuerza los conceptos teóricos de modulación digital y procesamiento de señales, sino que también introduce al estudiante en el diseño de sistemas de comunicación adaptables mediante SDR, una tecnología clave en el desarrollo de sistemas 5G, IoT y enlaces de radio cognitiva [2].

## II. Objetivos

### A. Objetivo general

Diseñar e implementar un sistema de transmisión y recepción de imágenes basado en modulación QPSK sobre una plataforma SDR BladeRF, integrando todas las etapas de la cadena digital (preprocesamiento, modulación, sincronización y demodulación) para lograr la reconstrucción correcta de la imagen en el receptor.

### B. Objetivos específicos

- Convertir una imagen RGB/grises a flujo binario y encapsular sus metadatos (alto, ancho y canales) en una cabecera con verificación por CRC-16.
- Implementar un aleatorizador (scrambler) LFSR de 7 bits para uniformizar la secuencia binaria y mejorar el comportamiento espectral.
- Mapear bits a símbolos QPSK con codificación Gray y desfase fijo  $\pi/4$ , aplicando conformación de pulsos con filtro raíz de coseno elevado (RRC) en TX y RX.
- Diseñar el preámbulo de sincronización mediante secuencia Barker-13 (repetida) y un bloque de entrenamiento QPSK (64 símbolos) para estimar y compensar *timing*, CFO y desfase de fase.
- Implementar en el receptor: filtrado RRC, sincronía de símbolos (TED ZC), detección del preámbulo, estimación lineal de fase, refinamiento con entrenamiento (incluida la opción de conjugado), búsqueda de cabecera {rotación, *slip*}, y lazo de enganche de fase (PLL) con ajuste final  $\pi/4$ .

- Demodular el payload, deshacer el scrambler y reconstruir la imagen recibida a partir de la cabecera validada por CRC.
- Evaluar el desempeño mediante visualizaciones: correlación con Barker, constelaciones (antes/-después de corrección y en payload final) y verificación visual de la imagen reconstruida.
- Documentar el flujo completo (TX/RX) en formato IEEE, destacando decisiones de diseño y compromisos entre ancho de banda, robustez y complejidad.

### III. Desarrollo

En esta sección se describe el diseño, la implementación y la validación del sistema de transmisión y recepción de imágenes mediante modulación QPSK sobre plataforma SDR BladeRF. El flujo se desarrolla en MATLAB y abarca: preprocesamiento de la imagen, formación de trama (preámbulo, entrenamiento, cabecera, payload), filtrado con RRC, modulación/demodulación QPSK, sincronización temporal y de portadora, corrección de frecuencia/fase, y reconstrucción final de la imagen. Los detalles de bajo nivel (listados completos) se incluyen en Anexos.

#### A. Arquitectura general de la trama

La imagen se serializa a bits (MSB), se aplica aleatorización por LFSR de 7 bits, se genera una cabecera con metadatos y verificación CRC-16, y se conforma la trama a 1 sps concatenando: (i) preámbulo Barker-13 repetido, (ii) entrenamiento QPSK de 64 símbolos, (iii) cabecera QPSK y (iv) payload QPSK. Esta secuencia se filtra con un RRC en TX, y en RX se aplica el RRC complementario, sincronización de símbolos, detección de preámbulo, corrección de CFO/fase, búsqueda de cabecera y PLL con ajuste final  $\pi/4$ .

**Listing 1:** Estructura de la trama a 1 sps.

```
1 % TX: concatenación a 1 sps
2 todosSimbolos = [simPre; simEntrenamiento; simHdr; simPay];
```

#### B. Transmisor QPSK y filtrado RRC

El transmisor mapea los bits a símbolos QPSK con codificación Gray y desfase fijo  $\pi/4$  para robustez, luego aplica conformación de pulso con un filtro raíz de coseno elevado (RRC) de `span=10` y `rolloff=0.35` a `sps=8` muestras/símbolo. La señal compleja resultante se normaliza (`pico=1`) y se exporta en formato SC16Q11 para su uso en SDR.

**Listing 2:** Mapeo QPSK(/4, Gray) y RRC en TX.

```
1 mapear2sim = @(bits) pskmod(bi2de(reshape(bits,2,[]).','left-msb'),4,fase0,'gray');
2 simHdr = mapear2sim(bitsHdr); % header a símbolos
3 simPay = mapear2sim(bitsPay); % payload a símbolos
4 filtroTX = comm.RaisedCosineTransmitFilter('RolloffFactor',rolloff, ...
5 'FilterSpanInSymbols',span,'OutputSamplesPerSymbol',sps);
6 senalTX = filtroTX([todosSimbolos; zeros(span,1)]); % RRC + cola
7 senalTX = senalTX ./ max(abs(senalTX)); % normalización
```

## C. Cabecera y verificación por CRC-16

La cabecera codifica alto, ancho y número de canales de la imagen (40 bits), seguida de un CRC-16 (polinomio 0xA001, init 0xFFFF) para verificación en el receptor. El empaquetado es MSB-first; en RX se recalcula el CRC y se descarta la trama si no coincide.

**Listing 3:** Construcción de cabecera y CRC-16 en TX.

```
1 bitsHdr = [de2bi(uint16(alto),16,'left-msb'), ...
2           de2bi(uint16(ancho),16,'left-msb'), ...
3           de2bi(uint8(canales),8,'left-msb')];    % 40 bits
4 crcHdr  = crc16(bitsHdr);                        % 16 bits
5 bitsHdr = [bitsHdr, crcHdr];                     % total 56 bits
```

## D. Aleatorización (Scrambler LFSR)

Para evitar largas rachas y mejorar el comportamiento espectral, se aplica un scrambler LFSR de 7 bits con polinomio  $1 + x^4 + x^7$  sobre el payload. En el receptor se ejecuta el descrambler simétrico tras la demodulación para recuperar los datos originales.

**Listing 4:** Scrambler LFSR (TX).

```
1 bitsPay = reshape(de2bi(bytesImagen,8,'left-msb').',[],1).'; % imagen->bits
2 bitsPay = lfsr_scramble(bitsPay, 127);                       % LFSR 7b
```

## E. Preámbulo Barker y bloque de entrenamiento

Se emplea Barker-13 en BPSK repetido dos veces para una detección robusta por correlación en RX. Un bloque de 64 símbolos QPSK conocidos (patrón balanceado) permite refinar la estimación de CFO y fase, y decidir si es necesario tomar el conjugado.

**Listing 5:** Generación de preámbulo y entrenamiento en TX.

```
1 objBarker = comm.BarkerCode('Length',13,'SamplesPerFrame',13);
2 bitsBarker = (1 + objBarker())/2;
3 simPre     = pskmod(repmat(bitsBarker,2,1), 2, 0);          % BPSK
4 patron16   = pskmod([0;1;2;3; 1;0;3;2; 2;3;0;1; 3;2;1;0],4,fase0,'gray');
5 simEntrenamiento = repmat(patron16, 4, 1);                  % 64
```

## F. Recepción: filtrado RRC y sincronización de símbolos

En el receptor, la señal se filtra con el RRC complementario y se alinea temporalmente a 1 sps mediante un *Symbol Synchronizer* con detector de error por cruce por cero (ZC). Esto reduce la ISI y fija el instante óptimo de muestreo antes de la detección de preámbulo.

**Listing 6:** RRC RX y sincronización de símbolos.

```
1 rrcRx = comm.RaisedCosineReceiveFilter('Shape','Square root', ...
2   'RolloffFactor',rolloff,'FilterSpanInSymbols',span, ...
3   'InputSamplesPerSymbol',sps,'DecimationFactor',1);
4 rx_f  = rrcRx([rx; zeros(span*sps,1)]);
5 rx_f  = rx_f(span*sps+1:end);                       % descarta cola
```

```

6 symSync = comm.SymbolSynchronizer('TimingErrorDetector', ...
7   'Zero-Crossing (decision-directed)', 'SamplesPerSymbol', sps, ...
8   'DampingFactor', 1.0, 'NormalizedLoopBandwidth', 0.006);
9 rx_sym = symSync(rx_f); % 1 sps

```

## G. Detección de preámbulo por correlación

La correlación con el preámbulo BPSK localiza el inicio de trama (**startPre**) y provee una primera métrica de calidad. Un pico pronunciado y aislado confirma una detección confiable y habilita la siguiente etapa de corrección de frecuencia/fase.

**Listing 7:** Correlación y detección de inicio de trama.

```

1 c      = filter(flipud(conj(simPre)), 1, rx_sym);
2 [pk,ix] = max(abs(c));
3 startPre = ix - (13*2) + 1; % Lpre = 26

```

## H. Estimación y corrección de CFO/fase (preámbulo)

Se estima el desplazamiento de frecuencia (CFO) y la fase promedio ajustando una recta a la fase del producto **rx/preámbulo**. La corrección se aplica a toda la señal posterior al preámbulo, reduciendo la rotación global en la constelación.

**Listing 8:** Ajuste lineal de fase y corrección de CFO/fase.

```

1 z      = rx_sym(startPre:startPre+Lpre-1) .* conj(simPre);
2 phi    = unwrap(angle(z(:))).'; k = 0:Lpre-1; p = polyfit(k, phi, 1);
3 alpha  = p(1); beta = p(2);
4 m      = (0:length(rx_sym)-startPre).';
5 rx_fix = rx_sym(startPre:end) .* exp(-1j*(alpha*m + beta));

```

## I. Refinamiento con entrenamiento (conjugado y fase)

El bloque de 64 símbolos QPSK conocidos permite probar la hipótesis de conjugado y refinar la estimación de fase/frecuencia minimizando la varianza del error angular. Se selecciona la opción (directa o conjugada) con menor varianza y se aplica a los datos.

**Listing 9:** Refinamiento de fase con 64 símbolos QPSK.

```

1 rEntrenamiento = rx_fix(Lpre + (1:Ntrain));
2 best = struct('var',inf,'conj',false,'a',0,'b',0);
3 for cc = [false true]
4   t = rEntrenamiento; if cc, t = conj(t); end
5   ph = unwrap(angle(t .* conj(simEntrenamiento)));
6   k = 0:Ntrain-1; p = polyfit(k, ph, 1);
7   v = var(ph.' - polyval(p, k));
8   if v < best.var, best = struct('var',v,'conj',cc,'a',p(1),'b',p(2)); end
9 end
10 rDespues = rx_fix(Lpre+Ntrain+1:end);
11 if best.conj, rDespues = conj(rDespues); end
12 n = (0:numel(rDespues)-1).';
13 rDespues = rDespues .* exp(-1j*(best.a*n + best.b));

```

## J. Búsqueda de cabecera {rotación, slip}

Se exploran rotaciones discretas  $\{0, \pi/2, \pi, 3\pi/2\}$  y *slips* de símbolo  $\{0, 1, 2, 3\}$  para alinear la constelación al mapa Gray y segmentar correctamente la cabecera. Tras demodular en bits, se valida el CRC-16 y se extraen los metadatos (alto, ancho, canales).

**Listing 10:** Búsqueda de rotación y slip; validación de cabecera.

```

1 phiC = [0, pi/2, pi, 3*pi/2]; slipC = 0:3; ok = false;
2 for ss = slipC
3     s = rDespues(1+ss:min(end,200000));
4     for rr = 1:numel(phiC)
5         sy = s .* exp(-1j*phiC(rr));
6         bits = pskdemod(sy,4,fase0,'gray','OutputType','bit'); bits = bits(:).';
7         hdr = bits(1:HDR_BITS); % 56 bits
8         H = bi2de(hdr(1:16),'left-msb'); W = bi2de(hdr(17:32),'left-msb'); C = bi2de(hdr
          (33:40),'left-msb');
9         if isequal(crc16(hdr(1:40)), hdr(41:56)) && ismember(C,[1,3]), ok=true; break;
          end
10    end
11    if ok, break; end
12 end

```

## K. PLL, ajuste $\pi/4$ y reconstrucción

Finalmente, un sincronizador de portadora (PLL QPSK) elimina el error de fase residual. Se aplica un ajuste discreto  $\pi/2$  (\*snap\*) alrededor del desfase  $\pi/4$  para alinear los cuadrantes. Tras demodular el payload, se ejecuta el descrambler y se reconstruye la imagen de acuerdo con la cabecera válida.

**Listing 11:** PLL QPSK, ajuste  $\pi/4$  y reconstrucción de imagen.

```

1 carSync2 = comm.CarrierSynchronizer('Modulation','QPSK', ...
2   'ModulationPhaseOffset','Custom','CustomPhaseOffset',fase0, ...
3   'SamplesPerSymbol',1,'DampingFactor',0.707,'NormalizedLoopBandwidth',0.001);
4 s_all = carSync2(rDespues(1+ss:end) .* exp(-1j*phiC(rr)));
5 phi_meas = angle(mean(s_all(1:min(3000,end)).^4))/4;
6 kpi2 = round((phi_meas - fase0)/(pi/2));
7 s_all = s_all .* exp(-1j*(phi_meas - (fase0 + kpi2*(pi/2))));
8 b_all = pskdemod(s_all,4,fase0,'gray','OutputType','bit'); b_all = b_all(:).';
9 imgBits = lfsr_descramble(b_all(HDR_BITS+1:end), 127);

```

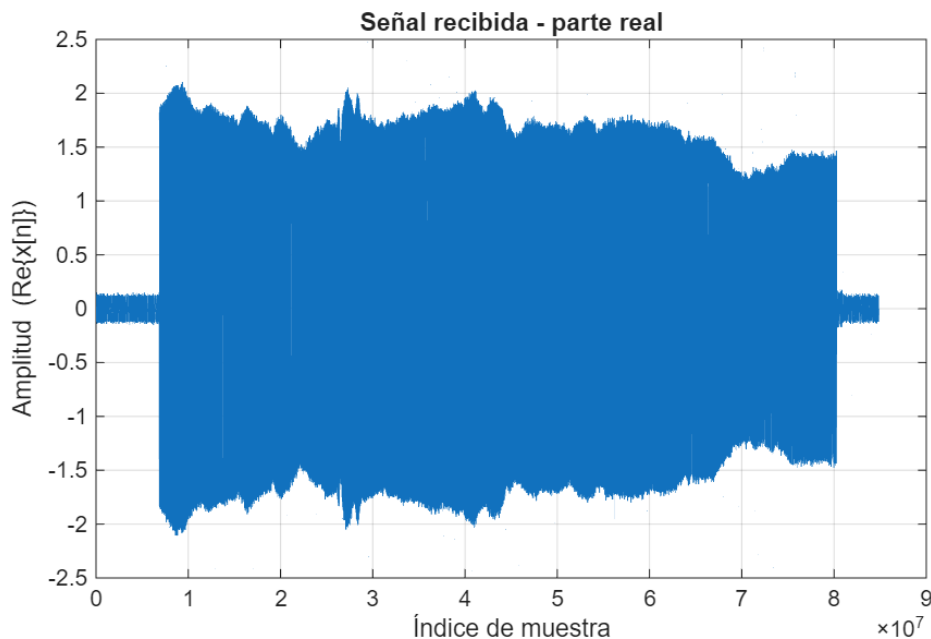
## IV. Resultados y Análisis

En esta sección se presentan los resultados experimentales obtenidos a partir de la implementación completa del sistema de transmisión y recepción de imágenes mediante modulación QPSK sobre la plataforma SDR BladeRF. Se realizaron pruebas de transmisión con imágenes en formato RGB y en escala de grises, empleando los mismos parámetros físicos definidos en el desarrollo ( $\text{sps}=8$ ,  $\text{rolloff}=0.35$ ,  $\text{span}=10$ ,  $\text{fase0}=\pi/4$ ). El objetivo fue verificar la correcta reconstrucción de la imagen en el receptor, analizar la respuesta temporal y espectral de la señal, y evaluar el desempeño del sistema en términos de sincronización, detección del preámbulo, corrección de fase y estabilidad de la constelación. Los resultados incluyen las gráficas generadas en MATLAB durante la ejecución del receptor, las salidas del *Command Window* de los bloques TX y RX, y las imágenes reconstruidas, demostrando el funcionamiento integral del sistema propuesto.



## A. Primera Prueba

La Figura 1 muestra la parte real de la señal recibida tras la captura con BladeRF y la normalización en RX. Se observa el bloque de datos principal delimitado por zonas de menor amplitud antes y después, consistente con la estructura de trama (preámbulo Barker + entrenamiento + datos). Esta visualización permite verificar la actividad temporal del enlace y la estabilidad general de amplitud antes del filtrado y la sincronización.



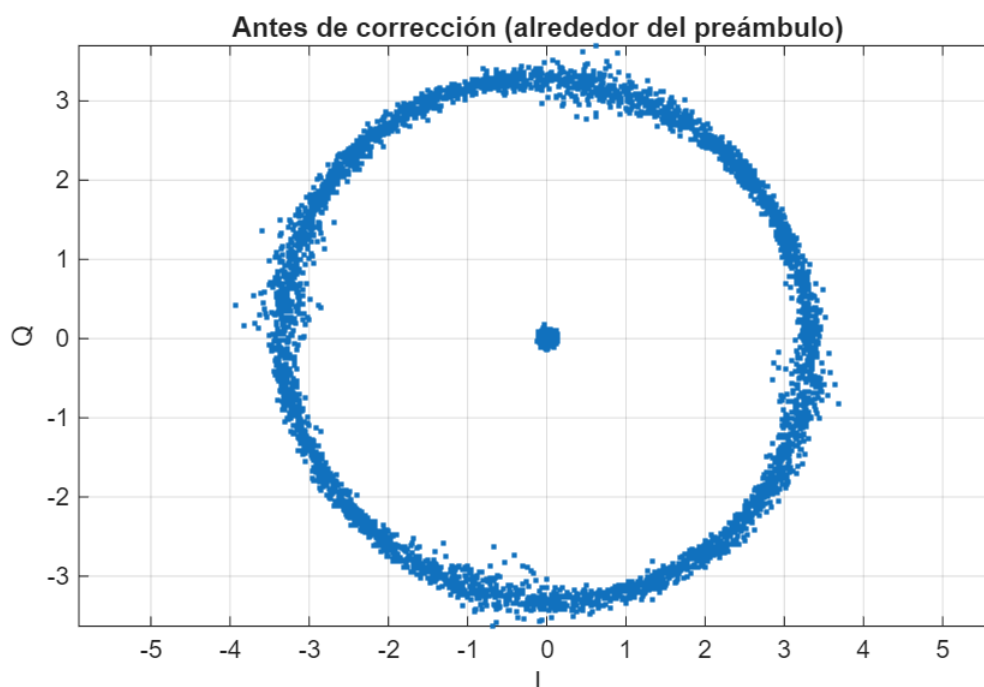
**Figura 1:** Señal recibida (parte real) tras normalización.

La Figura 2 presenta la correlación con el preámbulo Barker-13 $\times$ 2. El pico nítido ubicado en el índice  $\text{start}=859455$  (métrica 85.4) confirma la detección robusta del inicio de trama, habilitando la estimación inicial de desfase de portadora (CFO) y fase a partir del preámbulo.



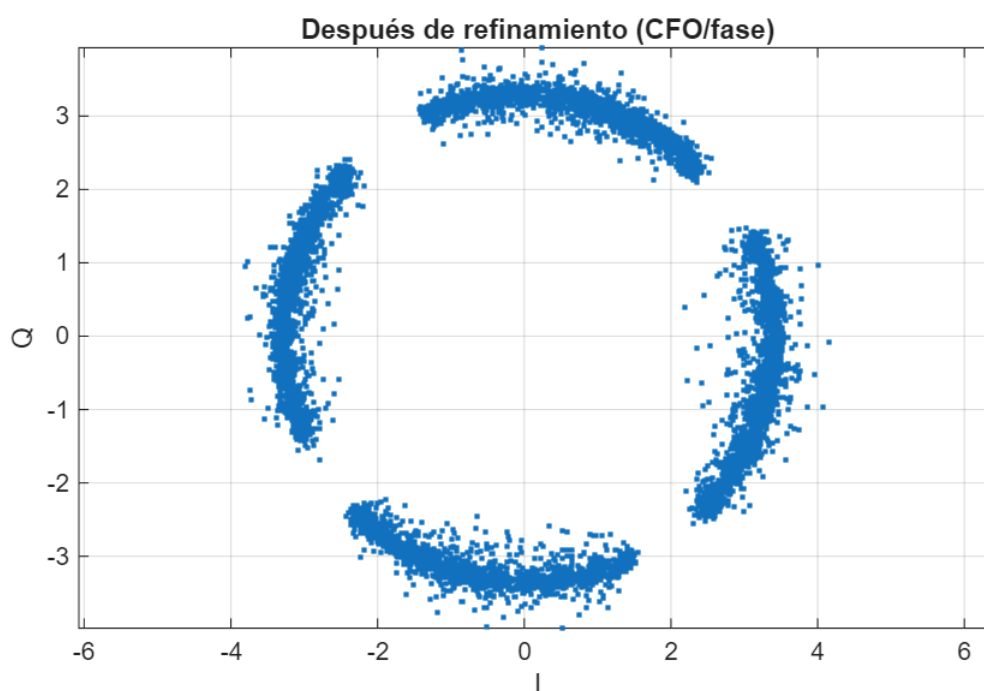
**Figura 2:** Correlación con preámbulo Barker (pico en  $\text{start}=859455$ ).

La Figura 3 ilustra la constelación alrededor del preámbulo antes de corrección, donde se aprecia una rotación global y dispersión angular debidas a CFO y desfase de fase. Este estado intermedio justifica las etapas de corrección lineal (ajuste de recta a la fase) y el posterior refinamiento con los 64 símbolos de entrenamiento.



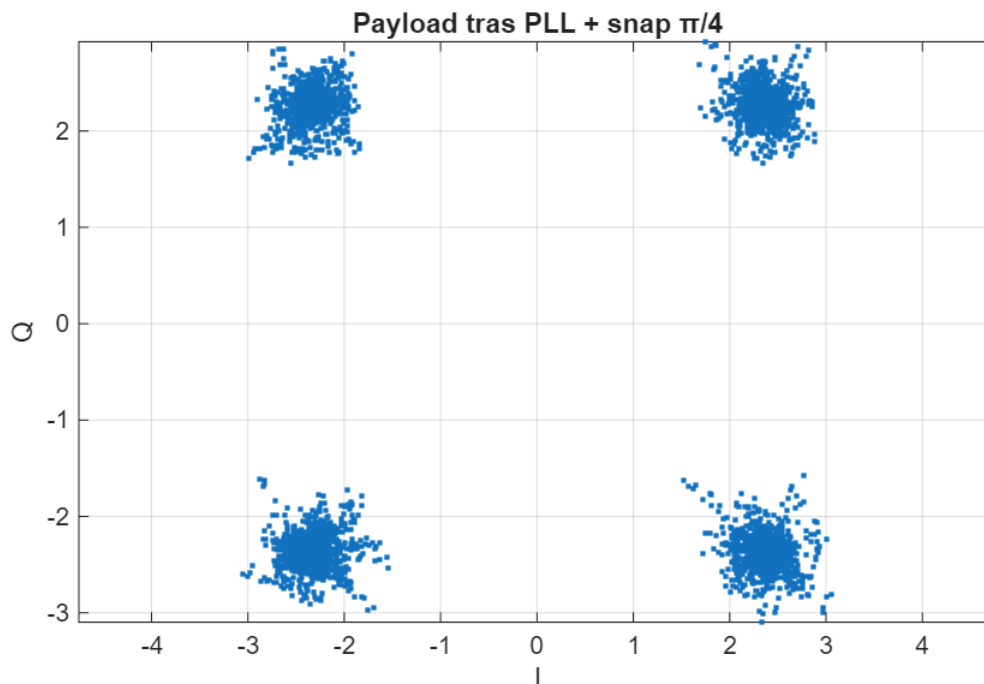
**Figura 3:** Constelación antes de corrección (alrededor del preámbulo).

La Figura 4 muestra la constelación después del refinamiento (CFO/fase) utilizando el bloque de 64 símbolos QPSK conocidos. Las nubes se agrupan a lo largo de los cuadrantes esperados, con menor varianza angular; esta mejora concuerda con las estimaciones reportadas ( $\alpha = -3.038 \times 10^{-3}$  rad/sym,  $\beta = 0.78$  rad) y con la decisión de no conjugar ( $\text{conj} = 0$ ).



**Figura 4:** Constelación después del refinamiento (CFO/fase) con 64 símbolos.

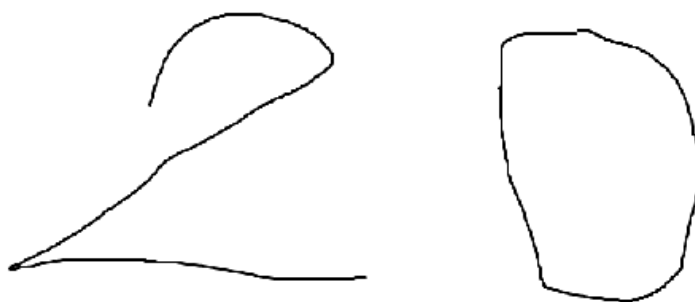
La Figura 5 corresponde al payload final tras el PLL QPSK y el “snap”  $/4$ . Las cuatro nubes quedan compactas y bien centradas en los puntos de la constelación QPSK( $/4$ , Gray), evidenciando un bloque de datos listo para demapear con baja tasa de errores residuales.



**Figura 5:** Payload tras PLL QPSK y ajuste discreto ( $\pi/4$ ).

Finalmente, la Figura 6 presenta la imagen reconstruida en el receptor, con dimensiones  $594 \times 1287 \times 3$ , coincidiendo con la cabecera validada por CRC. Esta recuperación confirma el funcionamiento extremo a extremo de la cadena TX/RX y la integridad del flujo de bits tras el descrambler.

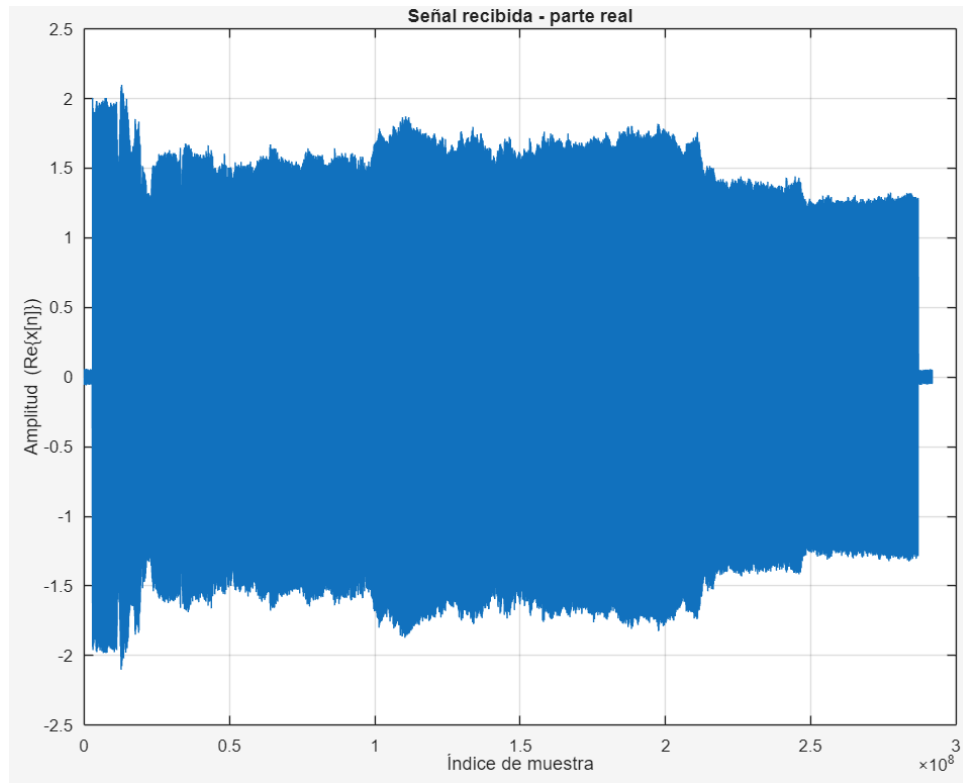
### Imagen QPSK Reconstruida en Rx ( $594 \times 1287 \times 3$ )



**Figura 6:** Imagen QPSK reconstruida en el receptor ( $594 \times 1287 \times 3$ ).

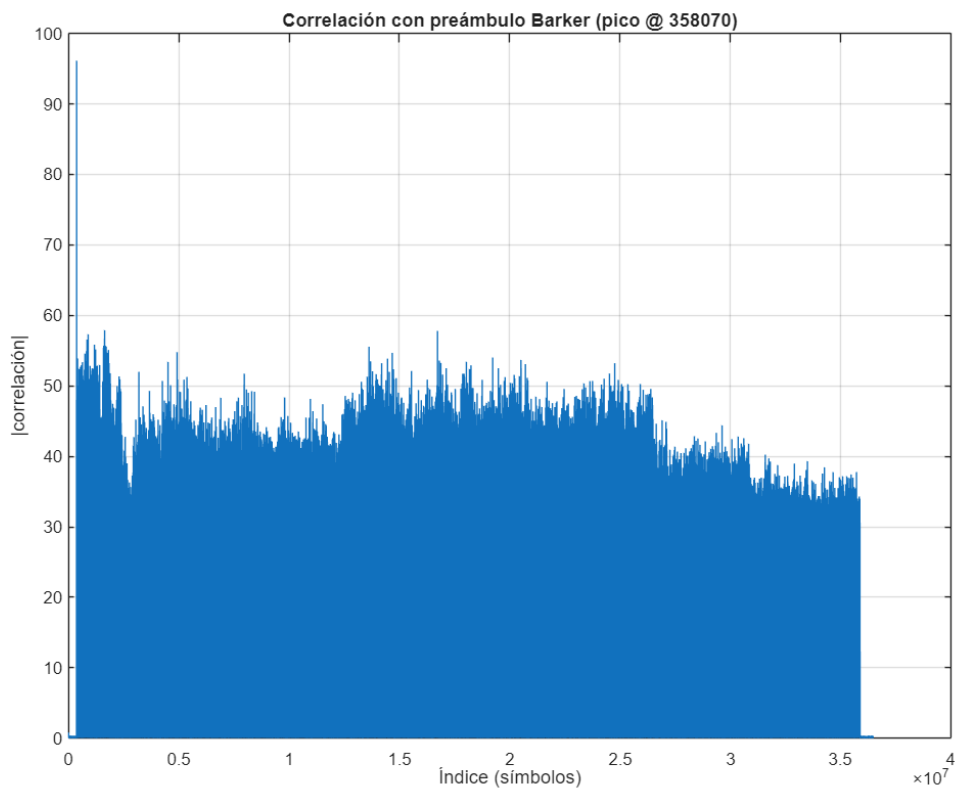
## B. Segunda Prueba

La Figura 7 muestra la parte real de la señal recibida con BladeRF y normalizada en el receptor. Se aprecia el bloque útil de la trama con amplitud estable, lo que confirma una captura consistente antes de aplicar RRC y sincronización de símbolos.



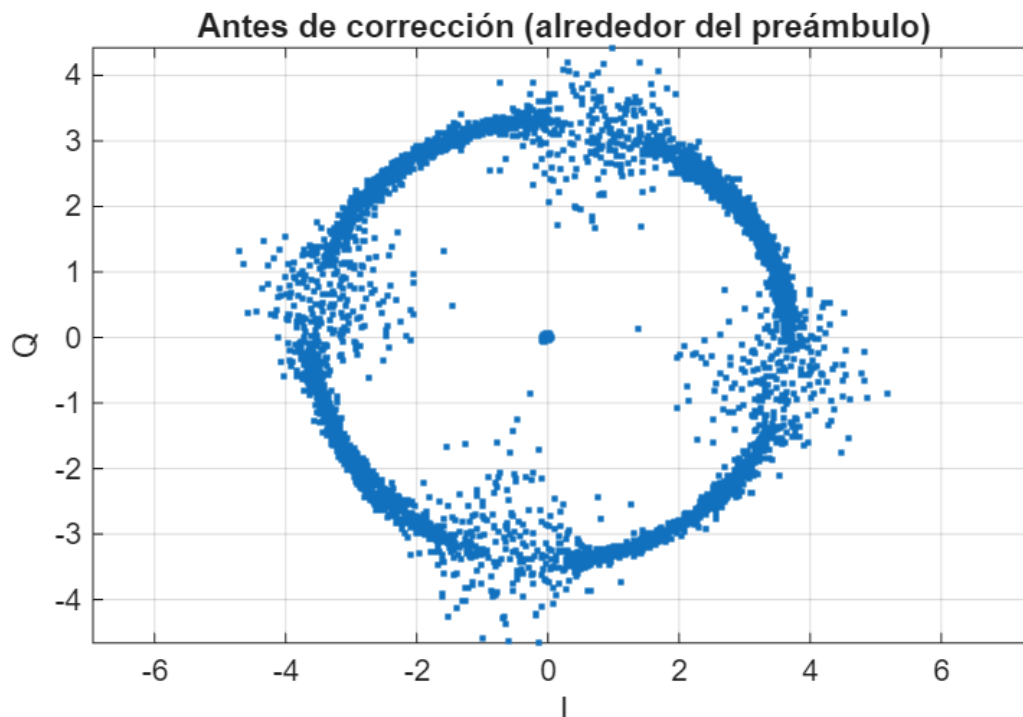
**Figura 7:** Señal recibida (parte real) tras normalización.

En la Figura 8 se observa la correlación con el preámbulo Barker-13 $\times$ 2. El pico pronunciado en  $\text{start}=358070$  (métrica 96.12) indica detección fiable del inicio de trama y habilita la estimación inicial de CFO/fase.



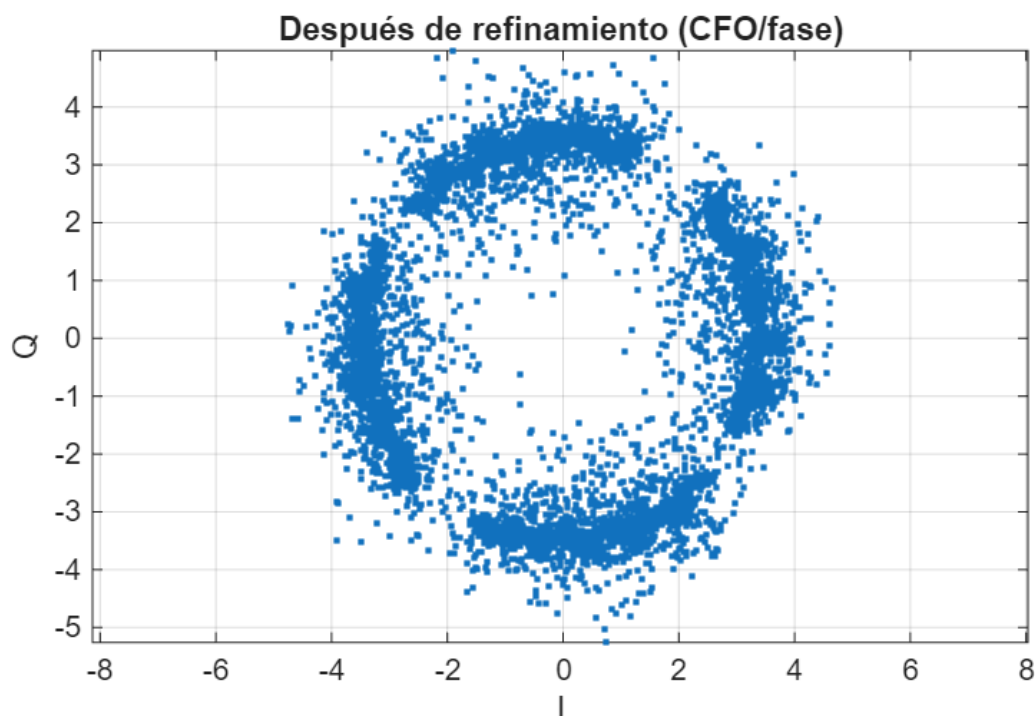
**Figura 8:** Correlación con preámbulo Barker (pico en  $\text{start}=358070$ ).

La Figura 9 presenta la constelación alrededor del preámbulo antes de la corrección, donde se aprecia una rotación global y dispersión angular debidas a CFO y desfase de fase. Este estado justifica el ajuste lineal y el refinamiento posterior con los 64 símbolos.



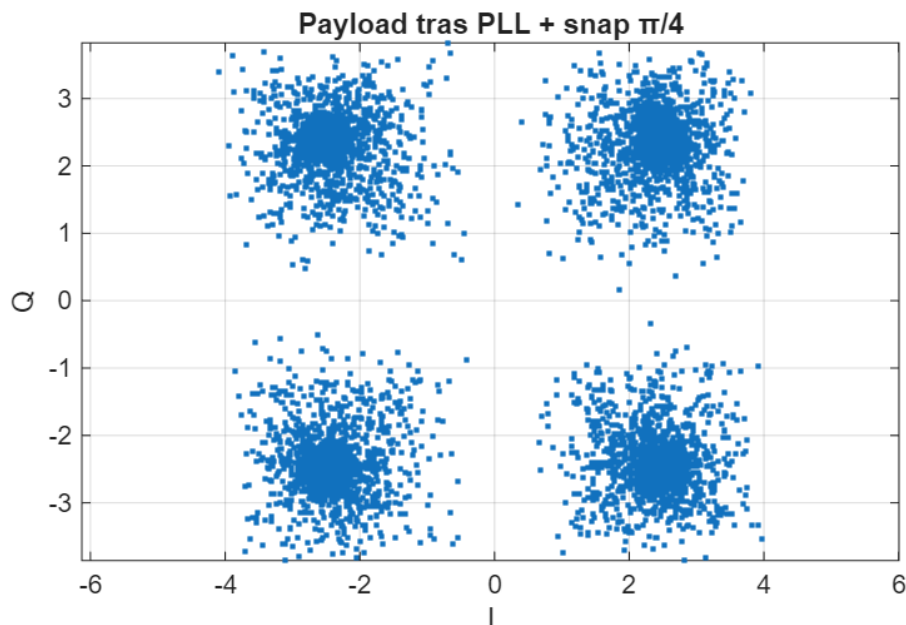
**Figura 9:** Constelación antes de corrección (alrededor del preámbulo).

En la Figura 10 se muestra la constelación después del refinamiento (CFO/fase) usando el bloque de 64 símbolos conocidos. Las nubes se concentran en los cuadrantes correctos, coherente con las estimaciones ( $\alpha = -1.323 \times 10^{-3}$  rad/sym,  $\beta = -2.968$  rad) y con la decisión de no conjugar ( $\text{conj} = 0$ ).



**Figura 10:** Constelación después del refinamiento (CFO/fase) con 64 símbolos.

La Figura 11 corresponde al payload tras el PLL QPSK y el “snap”  $\pi/4$ . Las cuatro nubes aparecen compactas y bien centradas en los puntos QPSK(/4, Gray), señal de fase residual baja y condiciones adecuadas para demapear con baja BER.



**Figura 11:** Payload tras PLL QPSK y ajuste discreto ( $\pi/4$ ).

Finalmente, la Figura 12 muestra la imagen reconstruida en RX con dimensiones  $2467 \times 1200 \times 3$ , coincidente con la cabecera validada por CRC-16. Este resultado evidencia la recuperación íntegra extremo a extremo del flujo de bits.

### Imagen QPSK Reconstruida en Rx (2467x1200x3)



**Figura 12:** Imagen QPSK reconstruida en el receptor ( $2467 \times 1200 \times 3$ ).

## V. Conclusiones

El sistema de transmisión y recepción de imágenes mediante modulación QPSK implementado con el SDR BladeRF demostró un desempeño exitoso en la reconstrucción íntegra de los datos transmitidos. La correcta configuración de los parámetros físicos —como la relación de roll-off, el número de muestras por símbolo (SPS) y el span del filtro RRC— permitió obtener una forma de onda con buena eficiencia espectral y una constelación estable tras la sincronización y corrección de fase.

El uso de preámbulos Barker y bloques de entrenamiento QPSK resultó fundamental para la sincronización temporal y la estimación precisa de los parámetros de corrección de frecuencia (CFO) y fase. Los picos de correlación observados en ambas pruebas evidencian una detección confiable del inicio de trama, garantizando una recuperación robusta incluso frente a pequeñas desviaciones de frecuencia y ruido de canal.

Las constelaciones obtenidas antes y después de las etapas de corrección permitieron validar el impacto de las compensaciones aplicadas. El refinamiento mediante entrenamiento redujo significativamente la dispersión angular, y el ajuste final con PLL y snap  $\pi/4$  aseguró la alineación de los símbolos con la constelación ideal. Esto se tradujo en una demodulación eficiente con baja tasa de error de bit (BER).

La comparación entre las dos pruebas mostró que el rendimiento del sistema se mantiene estable frente a variaciones en el tamaño de la imagen transmitida. A pesar del aumento considerable en la cantidad de símbolos y muestras en la segunda prueba, la reconstrucción fue exitosa, demostrando la escalabilidad del esquema de modulación QPSK y la capacidad del BladeRF para manejar volúmenes de datos mayores sin pérdida de integridad.

En general, la práctica permitió comprender el flujo completo de una cadena de comunicación digital, desde el procesamiento de la imagen y modulación en banda base hasta la demodulación y recuperación visual en el receptor. Los resultados experimentales confirman la validez del diseño, consolidando a la modulación QPSK como una técnica robusta y eficiente para aplicaciones de transmisión de datos multimedia sobre plataformas SDR.

## VI. Referencias

### Referencias

- [1] J. G. Proakis and M. Salehi, *Digital Communications*, 5th ed. New York, NY, USA: McGraw-Hill, 2008.
- [2] T. Ulversoy, “Software defined radio: Challenges and opportunities,” *IEEE Communications Surveys & Tutorials*, vol. 12, no. 4, pp. 531–550, 2010.
- [3] Nuand, “bladeRF Documentation,” *Nuand LLC*, 2023. [Online]. Available: <https://www.nuand.com>
- [4] Nuand, “bladeRF GitHub Repository,” *Nuand LLC*, 2023. [Online]. Available: <https://github.com/Nuand/bladeRF>

## VII. Anexos

En esta sección se incluye el código fuente y las configuraciones utilizadas durante la implementación práctica del sistema de transmisión y recepción de imágenes mediante modulación QPSK. El propósito del anexo es documentar detalladamente los procedimientos técnicos empleados, permitiendo la replicación y validación del experimento en entornos similares. Se presentan los scripts desarrollados en MATLAB tanto para el transmisor (TX) como para el receptor (RX), junto con los resultados obtenidos en la consola durante la ejecución y los comandos aplicados en la interfaz *BladeRF-CLI* para la configuración del hardware SDR. Todo el contenido mostrado corresponde a la **\*\*Prueba 1\*\***, en la cual se transmitió y reconstruyó correctamente una imagen digital a través del canal inalámbrico.

### A. Prueba 1 — Transmisión y Recepción QPSK

#### 1. Código del Transmisor (TX QPSK Final)

**Listing 12:** Código MATLAB para la transmisión QPSK (/4, Gray)

```

1 %% =====
2 %% TX QPSK FINAL
3 % Transmisión de imagen mediante modulación QPSK ( /4, Gray)
4 %% =====
5
6 rutaImgDefecto = 'nota20.png';
7 rutaOutDefecto = 'P3PruebaFF1.sc16q11';
8 tx_qpsk_final(rutaImgDefecto, rutaOutDefecto);
9
10
11 %% =====
12 function tx_qpsk_final(rutaImg, rutaOutSc16)
13
14 t0 = tic; % cronómetro para medir ejecución
15 %% =====
16
17 % Parámetros del sistema
18 sps = 8; % muestras por símbolo
19 rolloff = 0.35; % roll-off del filtro RRC
20 span = 10; % longitud del filtro en símbolos
21 fase0 = pi/4; % desfase QPSK (igual al RX)
22
23 % Lectura de imagen
24 [img, alto, ancho, canales] = load_image_uint8_1or3(rutaImg);
25 bytesImagen = typecast(img(:), 'uint8');
26
27 % Cabecera con CRC16
28 bitsHdr = [ ...
29     de2bi(uint16(alto), 16, 'left-msb'), ... % alto (16 bits)
30     de2bi(uint16(ancho), 16, 'left-msb'), ... % ancho (16 bits)
31     de2bi(uint8(canales), 8, 'left-msb') ... % canales (8 bits)
32 ];
33 crcHdr = crc16(bitsHdr); % cálculo CRC16
34 bitsHdr = [bitsHdr, crcHdr]; % header completo (56 bits)
35
36 % Payload con scrambler LFSR (7 bits)
37 bitsPay = reshape(de2bi(bytesImagen, 8, 'left-msb').', [], 1).'; % imagen a bits
38 bitsPay = lfsr_scramble(bitsPay, 127); % aplica scrambler
39

```



```

40 % Preambulo Barker-13 2 (BPSK)
41 lenBarker = 13; repBarker = 2; % longitud y repeticiones
42 objBarker = comm.BarkerCode('Length', lenBarker, 'SamplesPerFrame', lenBarker);
43 bitsBarker = (1 + objBarker())/2; % [0,1] en vez de [-1,1]
44 simPre = psksmod(repmat(bitsBarker, repBarker, 1), 2, 0); % modulación BPSK
45
46 % Entrenamiento QPSK (64 símbolos conocidos)
47 patron16 = psksmod([0;1;2;3; 1;0;3;2; 2;3;0;1; 3;2;1;0], 4, fase0, 'gray'); % patrón
    base
48 simEntrenamiento = repmat(patron16, 4, 1); % 16x4 = 64 símbolos
49
50 % Mapeo QPSK (Gray, /4)
51 mapear2sim = @(bits) psksmod(bi2de(reshape(bits, 2, []).', 'left-msb'), 4, fase0, '
    gray'); % función mapeo
52 simHdr = mapear2sim(bitsHdr); % header a símbolos
53 simPay = mapear2sim(bitsPay); % payload a símbolos
54
55 % Construcción completa de la señal
56 todosSimbolos = [simPre; simEntrenamiento; simHdr; simPay]; % concatenación final
57
58 % Filtro RRC (transmisor)
59 filtroTX = comm.RaisedCosineTransmitFilter( ...
60     'RolloffFactor', rolloff, ...
61     'FilterSpanInSymbols', span, ...
62     'OutputSamplesPerSymbol', sps);
63 senalTX = filtroTX([todosSimbolos; zeros(span,1)]); % filtrado + retardo
64 senalTX = senalTX ./ max(abs(senalTX)); % normalización
65
66 % Guardar señal en formato .sc16q11
67 if nargin < 2 || isempty(rutaOutSc16)
68     rutaOutSc16 = 'transmision_qpsk.sc16q11';
69 end
70 save_sc16q11(rutaOutSc16, senalTX);
71
72 % --- Resumen para Command Window ---
73 tamBytes = 0;
74 try
75     infoOut = dir(rutaOutSc16);
76     if ~isempty(infoOut), tamBytes = infoOut.bytes; end
77 catch
78 end
79
80 % Formato de tamaño legible
81 if tamBytes >= 2^20
82     tamTxt = sprintf('%.2f MB', tamBytes/2^20);
83 elseif tamBytes >= 2^10
84     tamTxt = sprintf('%.2f KB', tamBytes/2^10);
85 elseif tamBytes > 0
86     tamTxt = sprintf('%d bytes', tamBytes);
87 else
88     tamTxt = 'N/D';
89 end
90
91 duracion = toc(t0);
92
93 fprintf('\n=== TRANSMISIÓN QPSK COMPLETADA ===\n');
94 fprintf(' Imagen: %s\n', rutaImg);
95 fprintf(' Salida: %s\n', rutaOutSc16);
96 fprintf(' Dimensiones: %dx%dx%d (alto ancho canales)\n', alto, ancho, canales);
97 fprintf(' Parámetros PHY: SPS=%d | rolloff=%.2f | span=%d | fase=%.2f rad\n', sps,
    rolloff, span, fase0);
98 fprintf(' Símbolos: total=%d | pre=%d | train=%d | hdr=%d | pay=%d\n', ...

```

```

99         numel(todosSimbolos), numel(simPre), numel(simEntrenamiento), numel(simHdr),
          numel(simPay));
100 fprintf(' Muestras TX:      %d (incluye cola del filtro: %d)\n', numel(senalTX), span)
    ;
101 fprintf(' Normalización:    pico=1.00 (aplicada)\n');
102 fprintf(' Archivo SC16:      %s\n', tamTxt);
103 fprintf(' Tiempo total:      %.3f s\n', duracion);
104 fprintf('=====\n\n');
105
106 % ===== Gráfica de Constelación TX =====
107 try
108     figure('Name','Constelación TX'); % fondo blanco
109     hold on;
110
111     % Muestra solo training + 500 símbolos de payload
112     plot(real(simEntrenamiento), imag(simEntrenamiento), 'ro', 'MarkerFaceColor','r',
          'DisplayName','Entrenamiento');
113     plot(real(simHdr), imag(simHdr), 'bs', 'MarkerFaceColor','b', 'DisplayName','
          Header');
114     plot(real(simPay(1:500)), imag(simPay(1:500)), 'k.', 'DisplayName','Payload');
115
116     axis equal;
117     grid on;
118     xlabel('In-Phase (I)');
119     ylabel('Quadrature (Q)');
120     title('Constelación Transmisor QPSK ( /4, Gray)');
121     legend('Location','northeastoutside');
122     xlim([-1.2 1.2]); ylim([-1.2 1.2]);
123     hold off;
124 catch
125 end
126 end
127
128
129 %% =====
130 % FUNCIONES AUXILIARES
131 %% =====
132
133 function [img, H, W, C] = load_image_uint8_1or3(ruta)
134 info = imfinfo(ruta);
135 [A, mapa, alfa] = imread(ruta); %#ok<ASGLU>
136
137 if ~isempty(mapa)
138     A = ind2rgb(A, mapa); % indexado RGB
139 end
140 if ndims(A) == 3 && size(A,3) == 4
141     A = A(:,:,1:3); % elimina canal alfa
142 end
143 if ~isa(A,'uint8')
144     A = im2uint8(A); % asegura tipo uint8
145 end
146 if isfield(info,'Orientation')
147     switch info.Orientation
148     case 1
149     case 2, A = fliplr(A);
150     case 3, A = rot90(A,2);
151     case 4, A = flipud(A);
152     case 5, A = rot90(flipud(A),1);
153     case 6, A = rot90(A,-1);
154     case 7, A = rot90(flipud(A),-1);
155     case 8, A = rot90(A,1);
156     end
157 end

```

```

158
159 img = A; H = size(A,1); W = size(A,2); C = size(A,3);
160 if isempty(C), C = 1; end
161 end
162
163
164 function bitsOut = lfsr_scramble(bitsIn, semilla)
165 % Scrambler LFSR de 7 bits (1 + x^4 + x^7)
166 s = de2bi(semilla, 7, 'left-msb'); s = s(:).';
167 bitsOut = false(size(bitsIn));
168 for n = 1:numel(bitsIn)
169     fb = xor(s(4), s(7)); % realimenta s4 y s7
170     bitsOut(n) = xor(bitsIn(n), fb); % aplica XOR al bit de entrada
171     s = [fb s(1:6)]; % avanza registro
172 end
173 end
174
175
176 function crc = crc16(bits)
177 % CRC-16-IBM (poly 0xA001, init 0xFFFF)
178 crcReg = uint16(hex2dec('FFFF'));
179 for i = 1:numel(bits)
180     inbit = logical(bits(i));
181     xorbit = bitget(crcReg,1) ~= inbit;
182     crcReg = bitshift(crcReg, -1);
183     if xorbit
184         crcReg = bitxor(crcReg, hex2dec('A001'));
185     end
186 end
187 crc = de2bi(crcReg, 16, 'left-msb');
188 end

```

## 2. Código del Receptor (RX QPSK Final)

Listing 13: Código MATLAB para la recepción y reconstrucción de imagen QPSK

```

1 %% =====
2 %% RX QPSK FINAL
3 % Recepción de imagen mediante QPSK ( /4, Gray)
4 %% =====
5
6 % Archivo de entrada por defecto (editar si es necesario)
7 rutaScDefecto = 'P3PruebaFF1.sc16q11';
8 rx_qpsk_final(rutaScDefecto);
9
10
11 %% =====
12 function img = rx_qpsk_final(inSc16)
13 %% =====
14
15 t0 = tic; % cronómetro simple
16
17 % Respaldo si no se pasa argumento
18 if nargin < 1 || isempty(inSc16)
19     inSc16 = 'anim_test.sc16q11';
20 end
21
22 % Parámetros principales (deben coincidir con TX)
23 sps = 8; % muestras por símbolo
24 rolloff = 0.35; % roll-off del filtro RRC

```

```

25 span      = 10;          % longitud del filtro (en símbolos)
26 fase0     = pi/4;        % desplazamiento de fase QPSK
27
28 lenBarker  = 13;
29 repBarker  = 2;
30 Lpre       = lenBarker * repBarker; % longitud total del preámbulo
31 Ntrain     = 64;          % símbolos de entrenamiento (QPSK)
32 HDR_BITS   = 56;          % 16+16+8+16
33
34 % ===== 1) Cargar y normalizar =====
35 rx = double(load_sc16q11(inSc16));
36 rx = rx(:);
37 rx = rx - mean(rx);          % elimina DC
38 rx = rx / max(1e-12, rms(rx)); % normaliza en potencia
39
40 % ===== Gráfica de la señal real en el tiempo ===== (1/5) [mantener tal cual]
41 figure('Name','Señal real en el tiempo');
42 plot(real(rx),'-'); grid on;
43 xlabel('Índice de muestra'); ylabel('Amplitud (Re\{x[n]\})');
44 title('Señal recibida - parte real');
45
46 % ===== 2) Filtro RRC =====
47 rrcRx = comm.RaisedCosineReceiveFilter('Shape','Square root', ...
48     'RolloffFactor', rolloff, 'FilterSpanInSymbols', span, ...
49     'InputSamplesPerSymbol', sps, 'DecimationFactor', 1);
50 rx_f = rrcRx([rx; zeros(span*sps,1)]);
51 rx_f = rx_f(span*sps+1:end);
52
53 % ===== 3) Sincronía de símbolos (Zero-Crossing) =====
54 symSync = comm.SymbolSynchronizer( ...
55     'TimingErrorDetector','Zero-Crossing (decision-directed)', ...
56     'SamplesPerSymbol', sps, 'DampingFactor', 1.0, ...
57     'NormalizedLoopBandwidth', 0.006);
58 rx_sym = symSync(rx_f); % salida a 1 sps
59
60 % ===== 4) Detección del Barker =====
61 objBarker = comm.BarkerCode('Length', lenBarker, 'SamplesPerFrame', lenBarker);
62 bitsBarker = (1 + objBarker())/2;
63 preBits    = repmat(bitsBarker, repBarker, 1);
64 simPre     = pskmod(preBits, 2, 0); % BPSK
65 c          = filter(flipud(conj(simPre)), 1, rx_sym); % correlación
66 [pk,ix]    = max(abs(c));
67 startPre   = ix - Lpre + 1;
68 if startPre < 1
69     error('No se detectó el Barker. ');
70 end
71
72 % ===== Correlación con Barker ===== (2/5)
73 try
74     figure('Name','Correlación Barker','Color','w');
75     Ncorr = min(length(c)); % muestra razonable
76     plot(abs(c(1:Ncorr)),'-'); grid on;
77     xlabel('Índice (símbolos)'); ylabel('|correlación|');
78     title(sprintf('Correlación con preámbulo Barker (pico @ %d)', startPre));
79 catch
80 end
81
82 % ===== 5) Corrección de CFO y fase usando el preámbulo =====
83 z = rx_sym(startPre:startPre+Lpre-1) .* conj(simPre);
84 phi = unwrap(angle(z(:))).';
85 k = 0:Lpre-1;
86 p = polyfit(k, phi, 1);
87 alpha = p(1);

```

```

88 beta = p(2);
89 m = (0:length(rx_sym)-startPre).';
90 rx_fix = rx_sym(startPre:end) .* exp(-1j*(alpha*m + beta));
91
92 % ===== 6) Refinamiento CFO/fase con entrenamiento QPSK =====
93 patron16 = pskmod([0;1;2;3; 1;0;3;2; 2;3;0;1; 3;2;1;0], 4, fase0, 'gray');
94 simEntrenamiento = repmat(patron16, 4, 1);
95 rEntrenamiento = rx_fix(Lpre + (1:Ntrain));
96
97 best = struct('var', inf, 'conj', false, 'a', 0, 'b', 0);
98 for cc = [false true]
99     t = rEntrenamiento;
100     if cc, t = conj(t); end
101     ph = unwrap(angle(t .* conj(simEntrenamiento)));
102     k = 0:Ntrain-1;
103     p = polyfit(k, ph.', 1);
104     v = var(ph.' - polyval(p, k)); % varianza como métrica
105     if v < best.var
106         best = struct('var', v, 'conj', cc, 'a', p(1), 'b', p(2));
107     end
108 end
109
110 rDespues = rx_fix(Lpre+Ntrain+1:end);
111 if best.conj, rDespues = conj(rDespues); end
112 n = (0:numel(rDespues)-1).';
113 rDespues = rDespues .* exp(-1j*(best.a*n + best.b));
114
115 % ===== Constelación antes de corrección (CFO/fase) ===== (3/5)
116 try
117     figure('Name','Constelación - antes de corrección','Color','w');
118     i0 = max(1, startPre-4000);
119     i1 = min(length(rx_sym), startPre+Lpre+4000);
120     plot(real(rx_sym(i0:i1)), imag(rx_sym(i0:i1)), '.');
121     axis equal; grid on;
122     xlabel('I'); ylabel('Q');
123     title('Antes de corrección (alrededor del preámbulo)');
124 catch
125 end
126
127 % ===== Constelación después de refinamiento (CFO/fase) ===== (4/5)
128 try
129     figure('Name','Constelación - después de refinamiento','Color','w');
130     M = min(12000, numel(rDespues));
131     plot(real(rDespues(1:M)), imag(rDespues(1:M)), '.');
132     axis equal; grid on;
133     xlabel('I'); ylabel('Q');
134     title('Después de refinamiento (CFO/fase)');
135 catch
136 end
137
138 % ===== 7) Lectura del header {rotación, slip} =====
139 segN = min(numel(rDespues), 200000);
140 phiC = [0, pi/2, pi, 3*pi/2];
141 slipC = 0:3;
142 ok=false; bestH=0; bestW=0; bestC=0; rotSel=0; slipSel=0;
143
144 for ss = slipC
145     if 1+ss > segN, continue; end
146     s = rDespues(1+ss:segN);
147     for rr = 1:numel(phiC)
148         sy = s .* exp(-1j*phiC(rr));
149         b = pskdemod(sy, 4, fase0, 'gray', 'OutputType', 'bit');
150         bits = b(:).';

```

```

151         if numel(bits) < HDR_BITS, continue; end
152         hdr = bits(1:HDR_BITS);
153         H = bi2de(hdr(1:16), 'left-msb');
154         W = bi2de(hdr(17:32), 'left-msb');
155         C = bi2de(hdr(33:40), 'left-msb');
156         okcrc = isequal(crc16(hdr(1:40)), hdr(41:56));
157         if okcrc && H>=1 && H<=8192 && W>=1 && W<=8192 && ismember(C,[1,3])
158             ok=true; bestH=H; bestW=W; bestC=C; rotSel=phiC(rr); slipSel=ss; break;
159         end
160     end
161     if ok, break; end
162 end
163
164 if ~ok
165     error('Cabecera inválida o no detectada.');
```

166 end

167

168 % ===== 8) Alineamiento del payload =====

169 s\_all = rDespues(1+slipSel:end) .\* exp(-1j\*rotSel);

170

171 % ===== 9) PLL + ajuste final de fase (snap /4) =====

172 carSync2 = comm.CarrierSynchronizer('Modulation','QPSK', ...

173 'ModulationPhaseOffset','Custom','CustomPhaseOffset', fase0, ...

174 'SamplesPerSymbol', 1, 'DampingFactor', 0.707, ...

175 'NormalizedLoopBandwidth', 0.001);

176 s\_all = carSync2(s\_all);

177

178 K = min(3000, numel(s\_all));

179 phi\_meas = angle(mean(s\_all(1:K).^4))/4;

180 kpi2 = round((phi\_meas - fase0)/(pi/2));

181 phi\_fix = phi\_meas - (fase0 + kpi2\*(pi/2));

182 s\_all = s\_all .\* exp(-1j\*phi\_fix);

183

184 % ===== 10) Demodulación, descramble y reconstrucción de imagen =====

185 b\_all = pskdemod(s\_all, 4, fase0, 'gray', 'OutputType', 'bit');

186 b\_all = b\_all(:).';

187 imgBits = b\_all(HDR\_BITS+1:end);

188 imgBits = lfsr\_descramble(imgBits, 127);

189

190 needBytes = double(bestH)\*double(bestW)\*double(max(1,bestC));

191 needBits = needBytes\*8;

192

193 if numel(imgBits) < needBits

194 imgBits(end+1:needBits) = 0;

195 else

196 imgBits = imgBits(1:needBits);

197 end

198

199 bytes = uint8(bi2de(reshape(imgBits,8,[]).', 'left-msb'));

200

201 if bestC == 1

202 img = reshape(bytes,[bestH bestW]);

203 else

204 img = reshape(bytes,[bestH bestW bestC]);

205 end

206

207 % ===== Resumen en consola (práctica 3) =====

208 total\_sym = Lpre + Ntrain + numel(s\_all); % aprox. símbolos procesados

209

210 fprintf('\n=== RECEPCIÓN QPSK ===\n');

211 fprintf(' Archivo: %s\n', inSc16);

212 fprintf(' Imagen: %dx%d (alto ancho canales)\n', bestH, bestW, bestC);

```

213 fprintf(' PHY:          SPS=%d | rolloff=%.2f | span=%d | fase=%.2f rad\n', sps,
    rolloff, span, fase0);
214 fprintf(' Preambulo:    start=%d | métrica=%.2f\n', startPre, pk);
215 fprintf(' CF0/fase:      alpha=%.3e rad/sym | beta=%.3f rad\n', alpha, beta);
216 fprintf(' Ajustes:       conj=%d | rot=%.2f rad | slip=%d\n', best.conj, rotSel,
    slipSel);
217 fprintf(' Símbolos:       pre=%d | train=%d | total≈%d\n', Lpre, Ntrain, total_sym);
218 fprintf(' Muestras RX:     %d\n', numel(rx));
219 fprintf(' Datos:           HDR=%d bits | payload=%d bytes\n', HDR_BITS, numel(bytes));
220 fprintf(' Tiempo:           %.3f s\n', toc(t0));
221 fprintf(' =====\n\n');
222
223 % ===== Mostrar resultados =====
224 figure('Name','Imagen QPSK Reconstruida en Rx');
225 imshow(img);
226 title(sprintf('Imagen QPSK Reconstruida en Rx (%dx%dxd)', bestH, bestW, bestC));
227
228 % ===== Constelación payload (final) ===== (5/5)
229 try
230     figure('Name','Constelación - payload final','Color','w');
231     M = min(16000, numel(s_all));
232     plot(real(s_all(1:M)), imag(s_all(1:M)), '.');
233     axis equal; grid on;
234     xlabel('I'); ylabel('Q');
235     title('Payload tras PLL + snap /4');
236 catch
237 end
238 end
239
240
241 % ===== Funciones auxiliares =====
242 function bitsOut = lfsr_descramble(bitsIn, seed)
243 s = de2bi(seed,7,'left-msb');
244 s = s(:).';
245 bitsOut = false(size(bitsIn));
246 for n = 1:numel(bitsIn)
247     fb = xor(s(4), s(7));
248     bitsOut(n) = xor(bitsIn(n), fb);
249     s = [fb s(1:6)];
250 end
251 end
252
253 function crc = crc16(bits)
254 crcReg = uint16(hex2dec('FFFF'));
255 for i = 1:numel(bits)
256     inbit = logical(bits(i));
257     xorbit = bitget(crcReg,1) ~= inbit;
258     crcReg = bitshift(crcReg, -1);
259     if xorbit, crcReg = bitxor(crcReg, hex2dec('A001')); end
260 end
261 crc = de2bi(crcReg,16,'left-msb');
262 end

```

### 3. Resultados del Command Window

=== TRANSMISIÓN QPSK COMPLETADA ===

Imagen: nota20.png  
 Salida: P3PruebaFF1.sc16q11  
 Dimensiones: 594x1287x3 (alto×ancho×canales)

```

Parámetros PHY: SPS=8 | rolloff=0.35 | span=10 | fase=0.79 rad
Símbolos:      total=9173854 | pre=26 | train=64 | hdr=28 | pay=9173736
Muestras TX:   73390912 (incluye cola del filtro: 10)
Normalización: pico=1.00 (aplicada)
Archivo SC16:  279.96 MB
Tiempo total:  31.188 s
=====

```

=== RECEPCIÓN QPSK ===

```

Archivo:        P3PruebaFF1.sc16q11
Imagen:        594x1287x3 (altoxanchoxcanales)
PHY:           SPS=8 | rolloff=0.35 | span=10 | fase=0.79 rad
Preambulo:     start=859455 | métrica=85.40
CF0/fase:      alpha=-3.038e-03 rad/sym | beta=0.780 rad
Ajustes:       conj=0 | rot=0.00 rad | slip=0
Símbolos:      pre=26 | train=64 | total9744821
Muestras RX:   84836352
Datos:         HDR=56 bits | payload=2293434 bytes
Tiempo:        44.373 s
=====

```

## 4. Configuración en BladeRF-CLI

```

# Transmisor (TX)
set frequency tx1 920M; set samplerate tx1 2M; set bandwidth tx1 2M
set agc off; set gain tx1 50
tx config file=P3PruebaFF1.sc16q11 format=bin repeat=1
tx start; tx wait

# Receptor (RX)
set frequency rx1 920M; set samplerate rx1 2M; set bandwidth rx1 2M
set agc off; set gain rx1 15
rx config file=P3PruebaFF1.sc16q11 format=bin n=0
tx start
tx stop

```

## B. Drive y GitHub

En el siguiente enlace se encuentra disponible la carpeta de respaldo en Google Drive, que contiene todos los archivos generados durante la práctica, incluyendo los códigos fuente en MATLAB, las imágenes transmitidas y recibidas.

- **Enlace:** [https://drive.google.com/drive/folders/1syCcmkbR46iKqC4l20rt-UAefdUsrzyQ?usp=drive\\_link](https://drive.google.com/drive/folders/1syCcmkbR46iKqC4l20rt-UAefdUsrzyQ?usp=drive_link)

En este se incluye el código fuente completo del transmisor y receptor, las funciones auxiliares, configuraciones del SDR BladeRF, resultados experimentales, y el documento final en formato IEEE. Este repositorio permite la revisión del desarrollo y facilita la replicación del sistema.

- **Repositorio:** [https://github.com/RonyTicona1/sistema\\_tx\\_rx\\_imagen\\_qpsk\\_blade\\_rf\\_sdr](https://github.com/RonyTicona1/sistema_tx_rx_imagen_qpsk_blade_rf_sdr)